

「だいち2号」観測データの干渉解析による西之島の地殻変動

火砕丘の東側、北西側及び北東側に堆積した溶岩等の範囲（砂目模様の場所）が見られます。（図1～図4）また、火砕丘の北東側及び南東側で収縮とみられる衛星から遠ざかる変動が見られます。（図1、図2）さらに、火砕丘の東側で堆積した溶岩の経時変化等によるとみられる最大数10cm程度の複雑な変動が見られます。（図4）

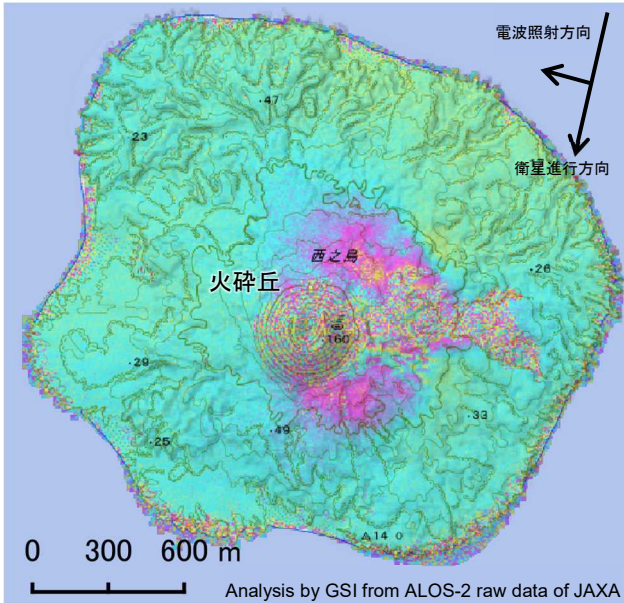


図1 2019年11月22日～2019年12月6日 11:18
衛星進行方向 南行、電波照射方向 右、入射角 58.7°

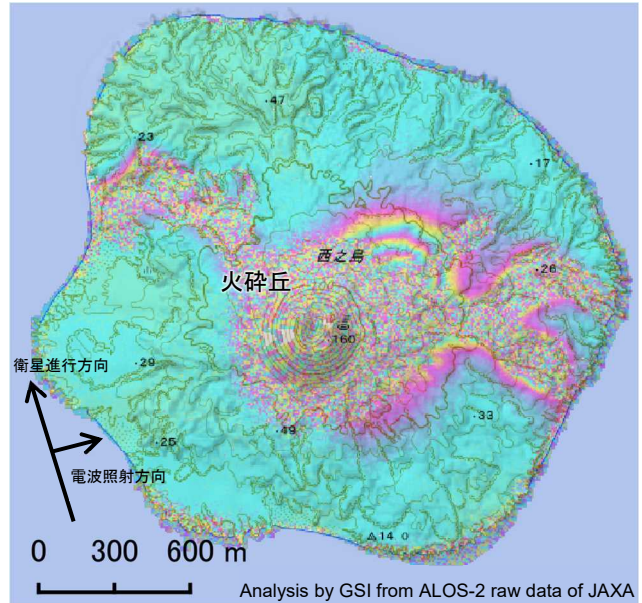
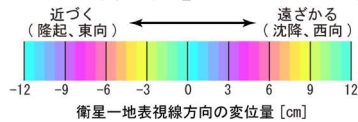


図2 2019年11月17日～2019年12月15日 23:36
衛星進行方向 北行、電波照射方向 右、入射角 34.3°

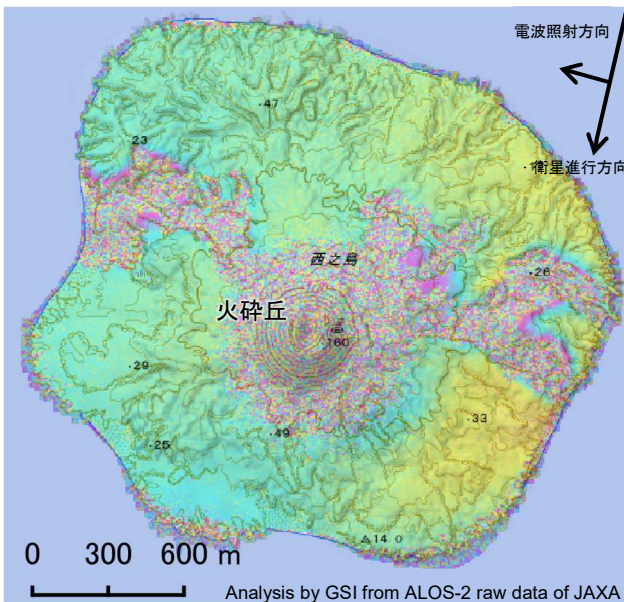
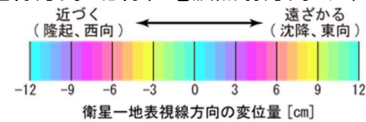


図3 2019年12月6日～2019年12月20日 11:18
衛星進行方向 南行、電波照射方向 右、入射角 58.7°

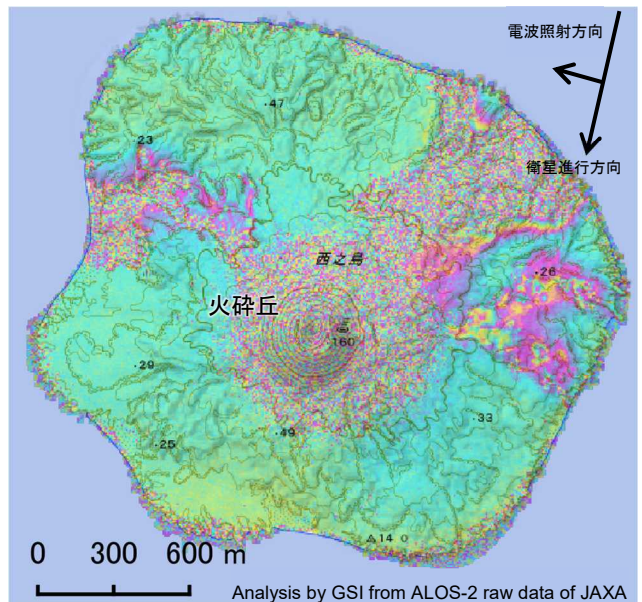
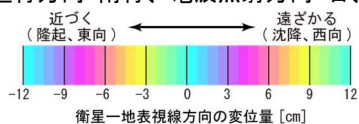
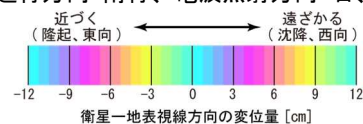


図4 2019年12月20日～2020年1月3日 11:18
衛星進行方向 南行、電波照射方向 右、入射角 58.7°



本解析のデータの一部は、火山噴火予知連絡会衛星解析グループの活動を通して得られたものです。

国土地理院

「だいち2号」観測データの強度画像による西之島の地形変化

一連の噴火活動に伴い、西之島の東側、北西側及び北東側で溶岩等によるものとみられる地形変化が見られ、海岸線まで到達しています。(図6～図8)

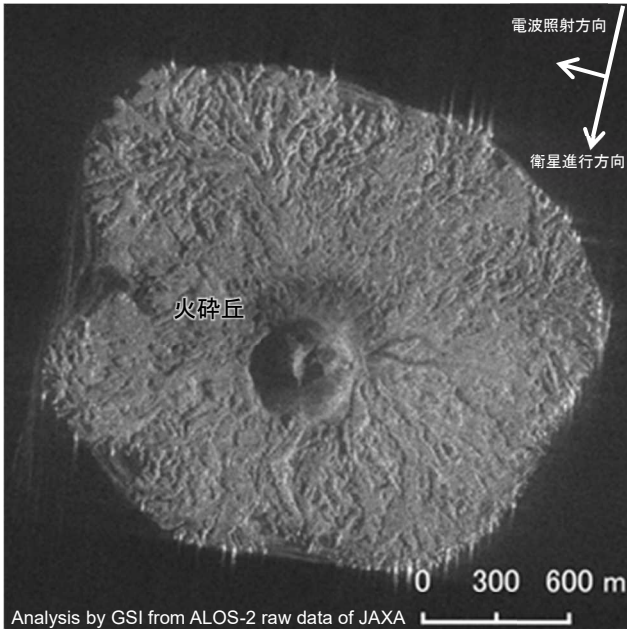


図5 2019年12月6日 11:18
衛星進行方向 南行、電波照射方向 右、入射角 58.7°

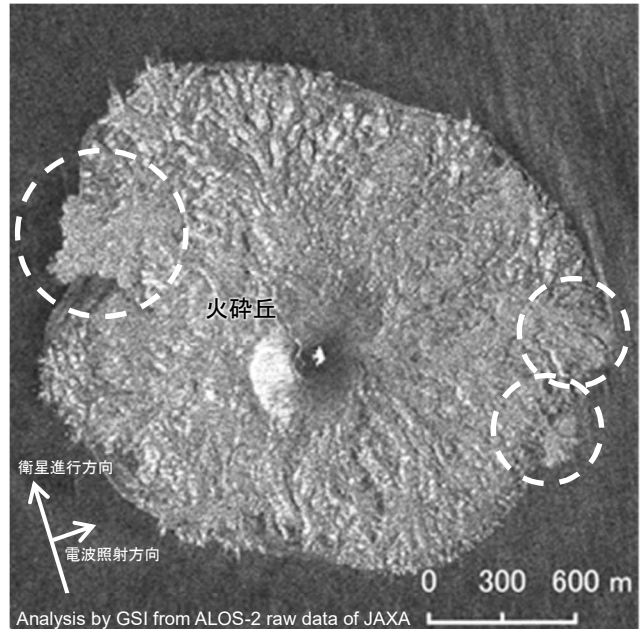


図6 2019年12月15日 23:36
衛星進行方向 北行、電波照射方向 右、入射角 34.3°

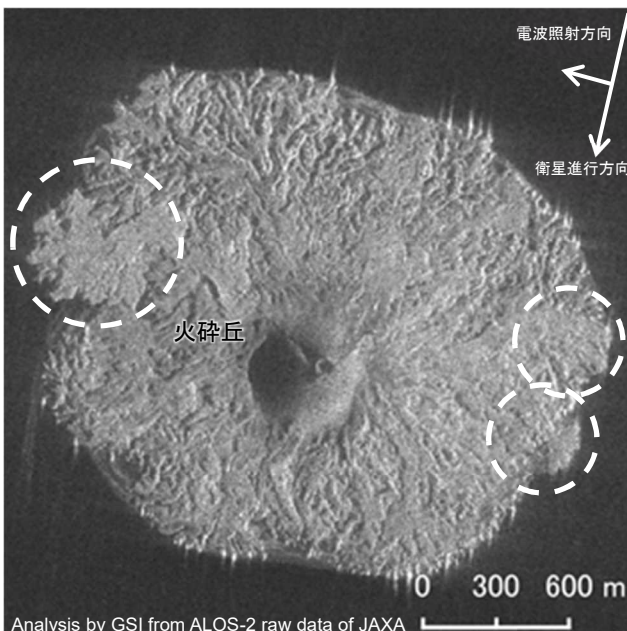


図7 2019年12月20日 11:18
衛星進行方向 南行、電波照射方向 右、入射角 58.7°

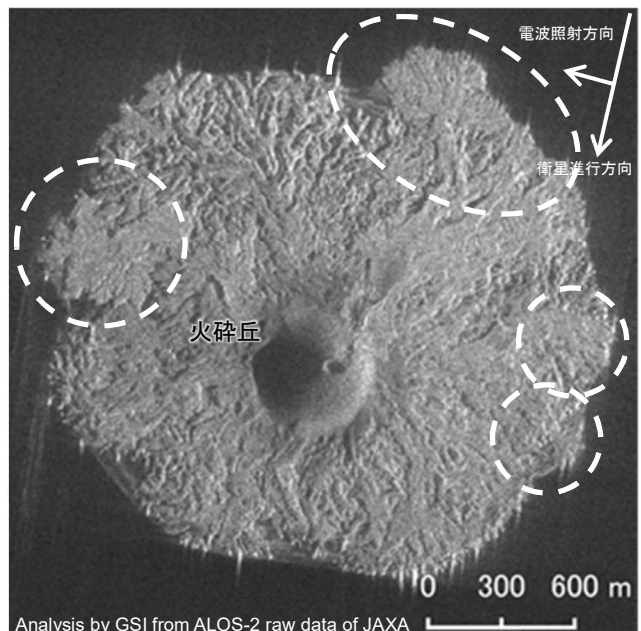


図8 2020年1月3日 11:18
衛星進行方向 南行、電波照射方向 右、入射角 58.7°

※海岸線の変化部分は、図6～8の白破線内